

## ЛИТЕРАТУРА

1. Гахов Ф. Д. Краевые задачи. Физматгиз, М., 1963.
2. Дацшин А. П., Савчук М. П.— ПММ, 1973, 37, 2.
3. Кит Г. С.— ДАН УРСР. Сер. А, 1969, 5.
4. Кит Г. С., Дорош Н. А.— В кн.: Концентрация напряжений, 3. «Наукова думка», К., 1971.
5. Кит Г. С., Хай М. В.— Изв. АН СССР. Механика твердого тела, 1973, 5.
6. Лебедев Н. Н. Температурные напряжения в теории упругости. ОНТИ, М., 1937.
7. Мусхелишивили Н. И. Некоторые основные задачи математической теории упругости. «Наука», М., 1966.
8. Прусов А. И. Некоторые задачи термоупругости. Изд-во Белорусского ун-та, Минск, 1972.

Львовский филиал математической физики  
Института математики АН УССР

Поступила в редакцию  
в октябре 1973 г.

## УПРУГОЕ РАВНОВЕСИЕ ПЛАСТИНКИ С ДВУМЯ КРУГОВЫМИ ОТВЕРСТИЯМИ, В КОТОРЫЕ ВПРЕССОВАНЫ ЗАМКНУТЫЕ СТЕРЖНИ

Т. Л. Мартынович, М. К. Зварич

Рассмотрим изотропную пластинку, срединная плоскость которой занимает бесконечную область  $S$ , ослабленную двумя одинаковыми отверстиями  $L_1$  и  $L_2$ , в которые впрессованы замкнутые упругие стержни. Расстояние между центрами отверстий примем равным  $2l$ . Систему координат расположим так, как это показано на рис. 2. Будем считать, что на бесконечности задано однородное напряженное состояние, а в пластинке действуют сосредоточенные силы  $P_i$ , расположенные симметрично относительно координатных осей  $Ox$  и  $Oy$ . Трением на линии контакта пренебрегаем. Предполагается, что контакт осуществляется вдоль контуров  $L_1$ ,  $L_2$ . Поперечное сечение стержня может быть произвольной формы, симметричной относительно срединной плоскости пластиинки. К внутренним контурам колец приложены нормальные напряжения  $N^*$  постоянной интенсивности. Напряженно-деформированное состояние колец описывается теорией тонких криволинейных стержней. На линиях контакта  $L_1$  и  $L_2$  заданы, как функции дуги, нормальные величины скачков векторов перемещений  $\varepsilon_1(t) = \varepsilon_2(t) = \varepsilon(t)$ . Учитывая силовую и геометрическую симметрию, граничным условиям задачи достаточно удовлетворить на правом контуре (на левом контуре они выполняются автоматически).

Определение напряженного состояния в контактирующих телах сводится к нахождению потенциалов  $\varphi(z)$  и  $\psi(z)$ , комплексного переменного  $z = x + iy$  и компонент деформации стержня  $e_0$  и  $\theta_b$ , которые удовлетворяют граничным условиям:

$$\begin{aligned} \int_{L_1} F(t) \operatorname{Re} d\{it[\kappa\varphi(t) - \overline{t\varphi'(t)} - \overline{\psi(t)}]\} &= 2\mu \int_{L_1} F(t) d[u_{1n} + \varepsilon(t)]; \\ \int_{L_1} \overline{F(t)} d[\varphi(t) + t\overline{\varphi'(t)} + \overline{\psi(t)}] &= \int_{L_1} N^{(i)} \overline{F(t)} dt; \\ \int_{L_1} F(t) d[\varphi(t) + t\overline{\varphi'(t)} + \overline{\psi(t)}] &= \int_{L_1} N^{(i)} F(t) dt, \end{aligned} \quad (1)$$

где  $F(z)$  — произвольная функция, голоморфная в области, занятой пластинкой;  $t$  — аффикс точки контура  $L_1$ ;  $t = \frac{dt}{ds}$ .

Нормальная составляющая перемещения  $u_{1n}$  точек крайнего волокна стержня [1]

$$u_{1n} = \operatorname{Re} \left\{ i \bar{t} \int_{t_0}^t \left[ \frac{r_0}{r_1} e_0 + i(r_1 - r_0) \frac{d\theta_b}{dt} + i\theta_b \right] dt + \bar{c} \bar{t} \right\} \quad (2)$$

удовлетворяет дифференциальному уравнению

$$\frac{d^2 u_{1n}}{ds_1^2} + \frac{1}{r_1^2} u_{1n} = \frac{r_0}{r_1^2} e_0 - \frac{r_0}{r_1} \frac{d\theta_b}{ds_1}, \quad (3)$$

где  $e_0$  — относительное удлинение нулевой (для чистого изгиба) линии  $L_0$ ;  $\theta_b$  — угол поворота нормального сечения кольца;  $c$  — постоянная интегрирования.

Уравнения равновесия элемента кольца, учитывая  $T^{(i)} = 0$ , принимают вид

$$N^{(i)} = \frac{1}{2hr_1} \left( V_\tau + r_1^2 \frac{d^2 V_\tau}{ds_1^2} \right) + \frac{h^*}{h} \cdot \frac{r_2}{r_1} N^*, \quad \frac{dL_b}{ds_1} = -r_0 \frac{dV_\tau}{ds_1}. \quad (4)$$

Закон Гука для криволинейного стержня при малой деформации запись в виде [1]

$$V_\tau = ge_0; \quad L_b = g\eta_c r_1 \frac{d\theta_b}{ds_1}. \quad (5)$$

Нормальное напряжение в сечении кольца определяем по формуле

$$\sigma = E^* \left[ \frac{r_0}{r} e_0 + (r - r_0) \frac{d\theta_b}{ds_1} \right], \quad (6)$$

где  $r$  — радиус кривизны произвольного волокна кольца.

В формулах (2) — (6) использованы обозначения работы [1].

Границные условия (1), с учетом уравнений (4), служат для определения компонент деформации стержня  $e_0$ ,  $\theta_b$  и комплексных потенциалов  $\varphi(z)$ ,  $\psi(z)$ .

Величины  $e_0$ ,  $\theta_b$  и  $u_{1n}$  на контуре  $\gamma_1$  правого отверстия представим в виде

$$\begin{aligned} e_0 &= \alpha_0 + \sum_{k=1}^{\infty} \alpha_k (\sigma^k + \sigma^{-k}); \quad \theta_b = i \sum_{k=1}^{\infty} \beta_k^* (\sigma^k - \sigma^{-k}); \\ u_{1n} &= \gamma_0 + \sum_{k=1}^{\infty} \gamma_k (\sigma^k + \sigma^{-k}). \end{aligned} \quad (7)$$

Учитывая выражение (3), нормальную составляющую контактного напряжения записываем в виде

$$N^{(i)} = \frac{g}{2hr_1r_0} \left\{ \gamma_0 + \frac{1}{1 + r_0/\eta_c} \sum_{k=1}^{\infty} (1 - k^2)^2 \gamma_k (\sigma^k + \sigma^{-k}) \right\} + \frac{h^*}{h} \cdot \frac{r_2}{r_1} N^*. \quad (8)$$

Комплексные потенциалы  $\varphi(z)$  и  $\psi(z)$ , согласно [2, 3], представим так:

$$\begin{aligned} \varphi(z) &= \varphi_*(z) + \sum_{k=1}^{\infty} a_k r_1^k \{(z - l)^{-k} + (-1)^{k+1} (z + l)^{-k}\}; \\ \psi(z) &= \psi_*(z) + \sum_{k=1}^{\infty} b_k r_1^k \{(z - l)^{-k} + (-1)^{k+1} (z + l)^{-k}\}, \end{aligned} \quad (9)$$

где  $\varphi_*(z)$  и  $\psi_*(z)$  — функции, зависящие от вида нагрузления на пластинку.

На контуре правого отверстия  $t = l + r_1\sigma$  произвольную функцию представим в виде

$$F(\sigma) = \sum_{n=0}^{\infty} E_n \sigma^{-n}. \quad (10)$$

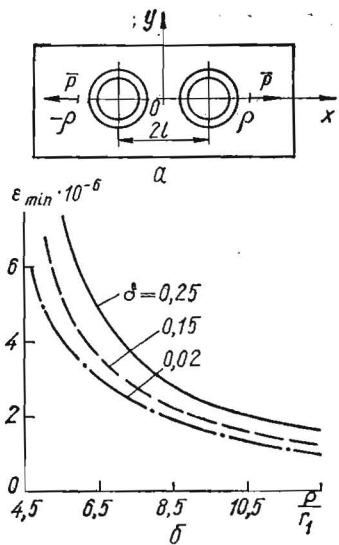


Рис. 1.

Внесем разложения (7), (9) и (10) в граничные условия (1), учитывая (3), (4) и (8); и выполним интегрирование вдоль контура  $\gamma_1$ , полагая при этом все  $E_p$ , кроме  $E_n$ , равными нулю; в результате получим бесконечную систему линейных алгебраических уравнений относительно коэффициентов разложений ис-комых функций

$$\sum_{k=0}^{\infty} a_{kn}^{(1)} \gamma_k + \sum_{k=1}^{\infty} c_{kn}^{(1)} a_k + \sum_{k=1}^{\infty} d_{kn}^{(1)} b_k = \varepsilon_n + P_n^{(1)};$$

$$\sum_{k=0}^{\infty} a_{kn}^{(2)} \gamma_k + \sum_{k=1}^{\infty} c_{kn}^{(2)} a_k + \sum_{k=1}^{\infty} d_{kn}^{(2)} b_k = P_n^{(2)}; \quad (11)$$

$$\sum_{k=0}^{\infty} a_{kn}^{(3)} \gamma_k + \sum_{k=1}^{\infty} c_{kn}^{(3)} a_k + \sum_{k=1}^{\infty} d_{kn}^{(3)} b_k = P_n^{(3)},$$

$$n = 1, 2, 3, 4, \dots,$$

где

$$a_{kn}^{(2)} = \frac{g}{2hr_0} \frac{(1-k^2)^2}{n \left( 1 + \frac{r_0}{\eta_c} \right)} \delta_{n-k}; \quad a_{kn}^{(3)} = \frac{g}{2hr_0} \frac{(1-k^2)^2}{n \left( 1 + \frac{r_0}{\eta_c} \right)} \delta_{k-n};$$

$$a_{0n}^{(3)} = -\frac{g}{2hr_0} \delta_{-n}; \quad a_{kn}^{(1)} = -4\mu \delta_{k-n}; \quad \varepsilon_n = -\frac{2\mu i}{\pi} \int_{\gamma_1} \varepsilon(\sigma) \sigma^{-n} d\sigma;$$

$$c_{kn}^{(1)} = (\kappa + k) \delta_{k-n+1} + \frac{k}{2\varepsilon_1} \delta_{k-n} + (\kappa - n) H_{k,n} + (\kappa + n - 2) H_{k,2-n} \delta_{2-n}^* - \frac{n-1}{2\varepsilon_1} H_{k,n-1};$$

$$d_{kn}^{(1)} = -\delta_{k-n-1} - \delta_{-k-n+1} - H_{k,n-2} \delta_{n-2}^*; \quad d_{kn}^{(2)} = H_{k,n};$$

$$c_{kn}^{(2)} = \delta_{n-k-1} + \frac{n+1}{2\varepsilon_1} H_{k,n+1} + (n+2) H_{k,n+2}; \quad (12)$$

$$c_{kn}^{(3)} = k \left( \delta_{k-n+1} + \frac{1}{2\varepsilon_1} \delta_{k-n} \right) - H_{k,n} - H_{k,1} \delta_{-n}; \quad d_{kn}^{(3)} = -\delta_{k-n-1};$$

$$H_{k,m} = (-1)^{k+m+1} C_{k+m-1}^m \varepsilon_1^{k+m}; \quad \varepsilon_1 = \frac{r_1}{2l};$$

$$\delta_i = \begin{cases} 1, & i = -1, \\ 0, & i \neq -1; \end{cases} \quad \delta_j^* = \begin{cases} 1, & j \geq 0, \\ 0, & j < 0. \end{cases}$$

Рассмотрим некоторые конкретные случаи загружения пластиинки.

1. В пластинке приложены сосредоточенные силы.

Пусть в пластинке приложены сосредоточенные силы  $P$ , как это показано на рис. 1, а. Тогда

$$\varphi_*(z) = -P_* \ln \frac{z-\rho}{z+\rho}; \quad P_* = \frac{P}{4\pi h(1+\kappa)};$$

$$\Psi_*(z) = \kappa P_* \ln \frac{z-\rho}{z+\rho} + 2P_* \frac{z}{z^2 - \rho^2}.$$

Выражения для  $P_n^{(1)}$ ,  $P_n^{(2)}$  и  $P_n^{(3)}$  принимают вид:

$$P_n^{(1)} = \frac{P_*}{\pi i} \int_{\gamma_1} \sigma^{-n} \operatorname{Re} \left\{ \sigma^{-1} \left[ \kappa \ln \frac{(\sigma - \zeta_1)(1 - \zeta_1 \sigma)}{(\sigma - \zeta_2)(1 - \zeta_2 \sigma)} - \frac{(\zeta_2 - \zeta_1)(\sigma - \sigma^*)}{(1 - \zeta_2 \sigma)(1 - \zeta_1 \sigma)} \right] \right\} d\sigma;$$

$$P_n^{(2)} = -\frac{P_*}{2\pi i} \int_{\gamma_1} \sigma^{n-1} \left\{ \kappa \ln \frac{1-\zeta_1\sigma}{1-\zeta_2\sigma} - \frac{(\zeta_2-\zeta_1)(\sigma-\sigma^3)}{(1-\zeta_1\sigma)(1-\zeta_2\sigma)} \right\} d\sigma;$$

$$P_n^{(3)} = -\frac{P_*}{2\pi i} \int_{\gamma_1} \sigma^{-n-1} \left\{ \ln \frac{\sigma-\zeta_1}{\sigma-\zeta_2} + \frac{(\zeta_1-\zeta_2)\sigma^3}{(1-\zeta_1\sigma)(1-\zeta_2\sigma)} \right\} d\sigma;$$

$$\zeta_1 = \frac{\rho-l}{r_1}; \quad \zeta_2 = -\frac{\rho+l}{r_1}.$$

Напряжения	$\delta$	$\theta = 0$			$\theta = \frac{\pi}{2}$			$\theta = \pi$		
		$\varepsilon_1=0,25$	$\varepsilon_1=\frac{1}{3}$	$\varepsilon_1=0,4$	$\varepsilon_1=0,25$	$\varepsilon_1=\frac{1}{3}$	$\varepsilon_1=0,4$	$\varepsilon_1=0,25$	$\varepsilon_1=\frac{1}{3}$	$\varepsilon_1=0,4$
$\sigma_{\theta}/N^*$	0,02	1,082	1,171	1,266	0,768	0,690	0,627	1,319	1,762	2,473
	0,15	0,707	0,761	0,813	0,502	0,447	0,401	0,859	1,138	1,579
	0,25	0,513	0,550	0,584	0,364	0,322	0,285	,614	0,806	1,110
$\sigma_{\theta}^*/N^*$	0,02	1,158	1,255	1,359	0,821	0,739	0,673	1,411	1,888	2,656
	0,15	0,935	0,933	0,931	0,935	0,933	0,931	0,935	0,934	0,931
	0,25	0,611	0,607	0,598	0,611	0,607	0,599	0,615	0,616	0,616
$-\sigma_{\rho}/N^*$	0,02	0,444	0,439	0,431	0,443	0,440	0,434	0,456	0,470	0,491
	0,15	2,241	2,298	2,402	2,256	2,319	2,429	2,224	2,258	2,336
	0,25	1,434	1,467	1,484	1,516	1,564	1,628	1,350	1,256	1,159
$\sigma_{\theta}^{(1)}/N^*$	0,02	1,021	1,023	1,027	1,127	1,171	1,219	0,929	0,809	0,668
	0,15	2,300	2,363	2,476	2,284	2,341	2,448	2,317	2,402	2,541
	0,25	1,764	1,814	1,887	1,682	1,696	1,743	1,849	2,005	2,214
$\sigma_{\theta}^{(2)}/N^*$	0,02	1,466	1,509	1,564	1,359	1,361	1,369	1,559	1,719	1,923

На рис. 1, б дана зависимость минимальной величины посадки  $\varepsilon_{min}$  от точки приложения сосредоточенной силы для некоторых геометрических параметров кольца  $\delta = \frac{b}{r_1}$  ( $b$  — ширина кольца).

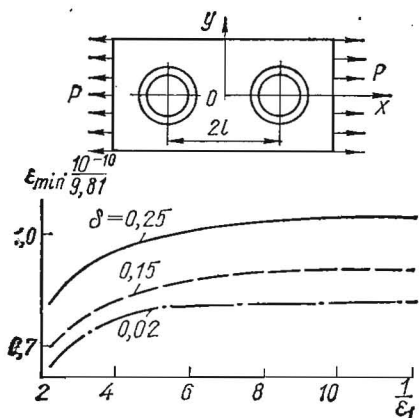


Рис. 2.

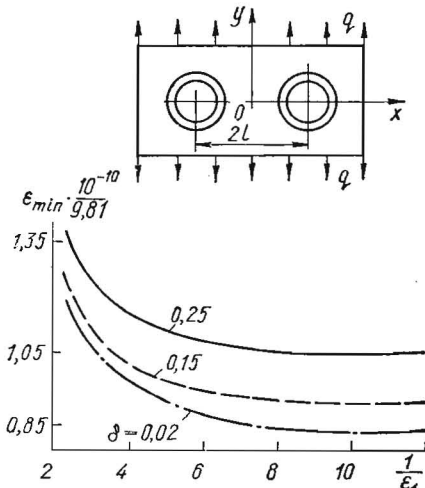


Рис. 3.

2. К кольцу приложено внутреннее давление. В этом случае

$$P_n^{(1)} = P_n^{(2)} = 0; \quad P_n^{(3)} = -\frac{h^*}{h} r_2 N^* \delta_{-n}.$$

В таблице приведены числовые значения нормальных напряжений  $\sigma^{(1)}$ ,  $\sigma^{(2)}$  в сечении кольца, а также кольцевых  $\sigma_{\theta}$  и радиальных  $\sigma_{\rho}$  напряжений на линии контакта для некоторых расстояний между центрами

отверстий и геометрического параметра  $\delta$ . Через  $\sigma_0^*$  обозначено напряжение в пластинке без кольца [3].

### 3. Растижение пластиинки.

На бесконечности пластиинки растягивается усилиями  $\sigma_x^\infty = p$ ,  $\sigma_y^\infty = q$ ,  $\tau_{xy}^\infty = 0$ . Тогда

$$\text{и } \Phi_*(z) = c_1 z; \quad \Psi_*(z) = d_1 z; \quad c_1 = \frac{p+q}{4}; \quad d_1 = -\frac{p-q}{2}$$

$$P_n^{(1)} = 2(1-\kappa)c_1r_1\left(\delta_{-n} + \frac{1}{4}\varepsilon_1^{-1}\delta_{-n+1}\right) + d_1r_1\left(\delta_{-n+2} + \frac{1}{2}\varepsilon_1^{-1}\delta_{-n+1}\right);$$

$$P_n^{(2)} = -d_1r_1\delta_{-n}; \quad P_n^{(3)} = 2c_1r_1\delta_{-n}.$$

При растяжении пластиинки вдоль и поперек линии центров на рис. 2 и 3, для некоторых значений  $\delta$ , соответственно показано влияние расстояния между центрами отверстий на минимальную величину посадки  $\varepsilon_{\min}$ .

Для числового примера была взята медная пластиинка и стальное кольцо со следующими геометрическими и упругими постоянными:  $\mu = 4,34 \times 10^{10} \text{ н/м}^2$ ;  $E^* = 2,06 \cdot 10^{10} \text{ н/м}^2$ ;  $\delta = \frac{b}{r_1}$ ;  $\gamma = \frac{h^*}{h} = 1$ ;  $\nu = 0,3$ ;  $\kappa = 2,08$ . Расчеты произведены на ЭВМ «Минск-22».

### ЛИТЕРАТУРА

- Мартынович Т. Л. Теория и расчет пластиинок с подкрепленным краем. Автореф. докт. дис. Львовский ун-т, Львов, 1970.
- Космодамянский А. С. Многосвязные пластиинки. Изд-во Донецкого ун-та, Донецк, 1969.
- Космодамянский А. С., Ложкин В. Н.— В кн.: Некоторые задачи теории упругости о концентрации напряжений и деформации упругих тел, 2. Изд-во Саратовского ун-та, Саратов, 1965.

Львовский государственный  
университет

Поступила в редакцию  
в декабре 1973 г.

## ДИФФУЗИОННОЕ НАСЫЩЕНИЕ ПОЛОГО ЦИЛИНДРА С ДВУСТОРОННИМ ПОКРЫТИЕМ

**Д. В. Иващук, В. И. Лах, П. Р. Шевчук**

Во многих случаях для обеспечения стабильности работы точных измерительных приборов, работающих в агрессивных средах при повышенных давлениях и температурах, их помещают в защитные устройства, которые можно моделировать полым цилиндром. Для придания защитной арматуре необходимого комплекса свойств очень часто на поверхность ее наносятся специальные покрытия, которые, однако, существенно усложняют расчет диффузионной проницаемости и напряженного состояния таких механических систем.

**1. Определение поля концентрации.** Рассмотрим длинный полый цилиндр, на внутренней ( $r = R_1$ ) и внешней ( $r = R_2$ ) поверхностях которого имеются тонкие покрытия постоянной толщины  $2\delta$  с отличными физико-механическими характеристиками. Цилиндр омывается изнутри и извне средами с давлениями  $q_1$  и  $q_2$  и концентрациями  $c_1$  и  $c_2$  вещества, которое может диффундировать в материал цилиндра через покрытия. Начиная с момента насыщения, распределение концентрации диффундирующего вещества в материале цилиндра описывается решением дифференциального уравнения

$$\frac{\omega}{\lambda} \cdot \frac{\partial c}{\partial r_1} = \left( \frac{\partial^2}{\partial r^2} + \frac{1}{r} \cdot \frac{\partial}{\partial r} \right) c \quad (1)$$